

ОБЪЕДИНЕННЫЙ
ИНСТИТУТ
ЯДЕРНЫХ
ИССЛЕДОВАНИЙ

Дубна

СЗЗ.2

X-199

1/√1-64.

P-1887



А.М. Хапаев, М.И. Широков

РАДИУС ВЗАИМОДЕЙСТВИЯ
И ПОЛЯРИЗАЦИЯ ЧАСТИЦ

ЛАБОРАТОРИЯ ТЕОРЕТИЧЕСКОЙ ФИЗИКИ

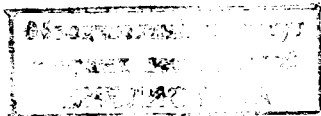
1964

А.М. Хапаев, М.И. Широков

P-1687

2456/3 48

РАДИУС ВЗАИМОДЕЙСТВИЯ
И ПОЛЯРИЗАЦИЯ ЧАСТИЦ



Дубна 1964

В в е д е н и е

Рарита и Швед^{/1/}, Огиевецкий и Гришин^{/2/} указали способ оценки радиуса взаимодействия частиц, использующий уже первые скудные сведения, которые получают экспериментаторы о какой-либо новой реакции. Способ состоит в следующем. Пусть известны экспериментальные значения поперечного сечения канала σ и дифференциального сечения $\sigma(\theta)$. Ясно, что эти данные согласуются с предположением о том, что в реакции играет роль только s -волна лишь в том случае, если $\alpha(\theta) = \sigma/4\pi$. Если это равенство не выполняется, то должны играть роль высшие парциальные волны (фазы) с орбитальным моментом $l > 0$. Оказывается, см.^{/2/}, что при заданном $\sigma(\theta)$ и предположенном наибольшем существенном орбитальном моменте l_0 , величина σ не может быть меньше, чем $4\pi\alpha(\theta)/\Sigma(l_0, \theta)$, где $\Sigma(l_0, \theta)$ — известная положительная функция, растущая с ростом l_0 , причем $\Sigma(0, \theta) = 1$. Если $\alpha(\theta) \gg \sigma/4\pi$, то потребуется довольно большое l_0 , чтобы согласовать такие значения $\alpha(\theta)$ и σ , т.е. чтобы σ равнялось или было бы несколько больше, чем $4\pi\alpha(\theta)/\Sigma(l_0, \theta)$. Под радиусом взаимодействия r_0 мы понимаем величину, связанную с l_0 известным соотношением $r_0 p = \hbar l_0$. Изложенный способ имеет смысл применять только, если $\sigma(\theta) > \sigma/4\pi$.

В настоящей работе находится наименьшее возможное σ при заданных значениях $\sigma(\theta)$ и поляризации $P(\theta)$ в зависимости от предположенного l_0 .

§ 1. Исходные формулы и обозначения

Для представления σ , $\sigma(\theta)$ и $P(\theta)$ как функций конечного числа парциальных волн (или обобщенных фаз) мы будем пользоваться формулами общей (феноменологической) теории реакций в представлении проекций спинов на импульсы (helicity)^{x)}.

Для реакции типа $a+b \rightarrow c+d$ (спины частиц j_a, j_b, j_c, j_d произвольны) имеем:

$$\sigma = \frac{\pi \hbar^2}{p^2} [(2j_a + 1)(2j_b + 1)]^{-1} \sum_J \sum_j (2J + 1) |\langle m_c m_d | R^J | m_a m_b \rangle|^2 =$$

$$= [(2j_a + 1)(2j_b + 1)]^{-1} \sum_f |\langle m_c m_d | f | m_a m_b \rangle|^2 \quad (1.1)$$

x) Это представление получило известность после работы Жакоба и Вика^{/4/}. Однако оно вводилось и использовалось уже в работах Заставенко Л.Г.^{/5/} и Чжоу Гуан-чжао^{/8/}.

$$\sigma(\theta) = \frac{\hbar^2}{4p_a^2} [(2j_a + 1)(2j_b + 1)]^{-1} \sum_J \sum_{m'_0, m'_d, m'_a, m'_b} (2J+1) d_{m'_0, m'_d, m'_a, m'_b}^J(\theta) \langle m'_0, m'_d | R^J | m'_a, m'_b \rangle^2 \quad (A)$$

$$= [(2j_a + 1)(2j_b + 1)]^{-1} \sum (\vec{q}_{m'_0, m'_d, m'_a, m'_b} \langle m'_0, m'_d | \vec{f} | m'_a, m'_b \rangle).$$

Здесь знак Σ обозначает сумму по проекциям m'_a, m'_b, m'_0, m'_d . J есть полный момент количества движения. Сумма по J берется до некоторого J_0 (подлежащего определению). В рассматриваемых нами далее случаях значение J_0 отличается от максимального орбитального момента l_0 на $1/2$ или на 1 , т.е. при больших J_0 можно считать, что $J_0 \approx l_0$. Остальные обозначения см. в работах ^{/4/ и /7/}.

В правых частях формул (1) и (A) введены следующие обозначения: $\langle m'_0, m'_d | \vec{f} | m'_a, m'_b \rangle$ есть вектор с компонентами

$$\langle m'_0, m'_d | \vec{f} | m'_a, m'_b \rangle = \sqrt{\pi} \hbar/p_a \sqrt{2J+1} \langle m'_0, m'_d | R^J | m'_a, m'_b \rangle \quad (1.2)$$

$$J = 0, 1, 2, \dots, J_0 \quad \text{или} \quad J = 1/2, 3/2, \dots, J_0,$$

\vec{a}, \vec{q} - вектор с компонентами

$$q_{m'_0, m'_d, m'_a, m'_b}^J = \sqrt{\frac{2J+1}{4\pi}} d_{m'_0, m'_d, m'_a, m'_b}^J(\theta) \quad (1.3)$$

Для компоненты поляризации $P(\theta)$ частицы со спином $1/2$, перпендикулярной к плоскости реакции, в случае неполяризованных пучка и мишени можно получить выражение (см. ^{/4/ и /8/}):

$$\begin{aligned} \sigma(\theta) P(\theta) &= (-i\sqrt{2}) \frac{\hbar^2}{4p_a^2} [(2j_a + 1)(2j_b + 1)] \sqrt{2} \sum_{m'_0, m'_d} \sum_{m'_a, m'_b} (-1)^{j_a - m'_0} C_{j_a, m'_a, m'_0}^{1-1} \\ &\sum_{j_1, j_2} (2j_1 + 1) D_{m'_0, m'_d, m'_a, m'_b}^{j_1}(-\pi, \theta, \pi - \phi) \langle m'_0, m'_d | R^J | m'_a, m'_b \rangle. \\ (2j_2 + 1) D_{m'_0, m'_d, m'_a, m'_b}^{j_2}(-\pi, \theta, \pi - \phi) \langle m'_0, m'_d | R^J | m'_a, m'_b \rangle^* &= \\ &= 2i [(2j_a + 1)(2j_b + 1)]^{-1} \sum_{m'_a, m'_b, m'_d} (\vec{q}_{-1/2, m'_d, m'_a, m'_b} \langle -1/2, m'_d | \vec{f} | m'_a, m'_b \rangle) \cdot \\ &\cdot (\vec{q}_{1/2, m'_d, m'_a, m'_b} \langle 1/2, m'_d | \vec{f} | m'_a, m'_b \rangle^*). \end{aligned} \quad (B)$$

В формуле (B) и всюду в дальнейшем предполагается сохранение четности. Это уменьшает число "обобщенных фаз" ^{/4/}:

$$\langle -m'_0, -m'_d | R^J | -m'_a, -m'_b \rangle = \langle m'_0, m'_d | R^J | m'_a, m'_b \rangle (-1)^{j_a + j_d - j_a - j_b} \eta_0 \eta_d / \eta_a \eta_b. \quad (1.4)$$

Здесь η обозначают внутренние четности частиц. Функции $d_{m,n}^J$ тоже не все независимы /4/:

$$d_{-m,-n}^J(\theta) = (-1)^{m-n} d_{m,n}^J(\theta) = d_{n,m}^J(\theta). \quad (1.5)$$

Наша задача состоит в нахождении наименьшего возможного значения σ при заданных $\sigma(\theta)$, $P(\theta)$ и J_0 . Она сильно упрощается, если учесть следующее обстоятельство. Как видно из (A) и (B), функции $\sigma(\theta)$ и $P(\theta)$ непосредственно зависят только от переменных

$$\langle m_a m_d | z | m_a m_b \rangle = \langle q_{m_a+m_d, m_a+m_b}^+ | f | m_a m_b \rangle.$$

В силу неравенства Коши-Буняковского $|\langle q^+ f \rangle|^2 < \langle q^+ | q^+ \rangle \langle f | f \rangle$, откуда $|f|^2 < |\langle q^+ f \rangle|^2 / \langle q^+ | q^+ \rangle = |z|^2 / |q^+|^2$. Поэтому

$$\sigma \geq \sigma_m = [(2j_a + 1)(2j_b + 1)]^{-1} \sum |\langle m_a m_d | z | m_a m_b \rangle|^2 / |\langle q_{m_a+m_d, m_a+m_b}^+ | q_{m_a+m_d, m_a+m_b}^+ \rangle|^2, \quad (C)$$

где σ_m зависит тоже только от переменных z . Знак равенства в (C) может достигаться (а именно при $\langle m_a m_d | f | m_a m_b \rangle = |\langle q_{m_a+m_d, m_a+m_b}^+ f \rangle|$) и поэтому наименьшее значение σ совпадает с наименьшим значением σ_m .

§ 2. Реакции типа $\frac{1}{2} + 0 \rightarrow \frac{1}{2} + 0$.

Примеры реакций с $j_a = j_c = \frac{1}{2}$, $j_b = j_d = 0$: $\pi + p \rightarrow \pi + p$, $\pi + p \rightarrow Y + K$, $p + He \rightarrow p + He$.

Для таких реакций ввиду (1.4) и (1.5) имеем

$$\langle -\frac{1}{2} 0 | z | -\frac{1}{2} 0 \rangle = \langle \frac{1}{2} 0 | z | \frac{1}{2} 0 \rangle = z_+$$

$$\langle -\frac{1}{2} 0 | z | \frac{1}{2} 0 \rangle = \langle \frac{1}{2} 0 | z | -\frac{1}{2} 0 \rangle = z_-.$$

Для удобства считаем равными произведения внутренних четностей частиц a , b и c , d . Вычисления в другом варианте четностей производятся аналогично и дают тот же результат. Задача сводится к нахождению наименьшего значения функции σ_m всего от двух комплексных переменных

$$\sigma_m = \frac{|z_+|^2}{|q_+|^2} + \frac{|z_-|^2}{|q_-|^2} \quad (2.C)$$

при следующих условиях на эти переменные

$$|z_+|^2 + |z_-|^2 = \sigma(\theta) \quad (2.A)$$

$$i(-z_+ z_-^* + z_- z_+^*) = 2 \operatorname{Im} z_+ z_-^* = \sigma(\theta) P(\theta). \quad (2.B)$$

Если не вводить функцию σ_m , то надо рассматривать задачу с большим числом переменных f^J , $J = 1/2, 3/2, \dots, J_0$.

Можно найти экстремум σ_m при условиях (2.A) и (2.B) с помощью метода неопределенных множителей Лагранжа. Следует, однако, иметь в виду, что наименьший экстремум σ_m может и не быть наименьшим значением (оно может достигаться на границе). Здесь мы изложим другой способ, который дает именно наименьшее значение σ_m (совпадающее с минимумом, как оказывается) и к тому же проще.

Пусть $z_+ = \rho_+ \exp i\eta_+$ и $z_- = \rho_- \exp i\eta_-$. Далее вместо ρ_+ и ρ_- введем переменные r и a : $\rho_+ = r \sin a$; $\rho_- = r \cos a$. Тогда (2.A) и (2.B) приобретают вид:

$$|z_+|^2 + |z_-|^2 = r^2 = \sigma(\theta) \quad (2.1)$$

$$r^2 \sin 2a \sin(\eta_+ - \eta_-) = \sigma(\theta) P(\theta). \quad (2.2)$$

После этого σ_m можно записать в виде

$$\sigma_m = 4\pi\sigma(\theta) \left(\frac{\sin^2 a}{\Sigma_+} + \frac{\cos^2 a}{\Sigma_-} \right) \quad (2.3)$$

$$\Sigma_+ = 4\pi |q_+|^2 = \sum_{J=1/2}^{J_0} (2J+1) [d_{\frac{1}{2}, \frac{1}{2}}^J(\theta)]^2$$

$$\Sigma_- = 4\pi |q_-|^2 = \sum_{J=1/2}^{J_0} (2J+1) [d_{-\frac{1}{2}, \frac{1}{2}}^J(\theta)]^2.$$

Из (2.1) и (2.2) следует, что $\sin 2a \sin(\eta_+ - \eta_-) = P(\theta)$, откуда $|P(\theta)| \leq |\sin 2a| \leq 1$. Теперь остается найти наименьшее значение (2.3), если $|\sin 2a|$ меняется в этих пределах.

С помощью формул

$$\sin^2 a = \frac{1}{2} (1 + \sqrt{1 - \sin^2 2a}), \quad \cos^2 a = \frac{1}{2} (1 - \sqrt{1 - \sin^2 2a})$$

(при заданном $\sin 2a$ возможны два значения $\sin^2 a$ и соответственно $\cos^2 a$) выражаем σ_m через $\sin^2 2a$:

$$\sigma_m = 4\pi\sigma(\theta) \left\{ \frac{1}{2} \left(\frac{1}{\Sigma_+} + \frac{1}{\Sigma_-} \right) \pm \frac{1}{2} \sqrt{1 - \sin^2 2a} \left(\frac{1}{\Sigma_+} - \frac{1}{\Sigma_-} \right) \right\}.$$

Наименьшее значение σ_m получается при знаке +, если квадратная скобка отрицательная и при знаке -, если она положительна. Далее, выражение

$$\frac{1}{2} \left(\frac{1}{\Sigma_+} + \frac{1}{\Sigma_-} \right) - \frac{1}{2} \sqrt{1 - \sin^2 2a} \left| \frac{1}{\Sigma_+} - \frac{1}{\Sigma_-} \right|$$

является наименьшим при наибольшем возможном значении корня, что достигается при наименьшем $\sin^2 2a$, т.е. при $\sin^2 2a = P^2(\theta)$. Итак,

$$\sigma \geq \sigma_m \geq 2\pi\sigma(\theta) \left[\left(\frac{1}{\Sigma_+} + \frac{1}{\Sigma_-} \right) - \sqrt{1 - P^2(\theta)} \left| \frac{1}{\Sigma_+} - \frac{1}{\Sigma_-} \right| \right]. \quad (2.4)$$

Если нет условия (2.2), то наименьшее значение $\sin^2 2\alpha$ равно нулю и получается уже известная формула $\sigma \geq 4\pi\sigma(\theta)/\Sigma_6$, где Σ_6 — большее из Σ_+ и Σ_- , см. ^{13/}. Нетрудно проверить, что левая часть (2.4) больше $4\pi\sigma(\theta)/\Sigma_6$ при $P \neq 0$ и $\Sigma_+ \neq \Sigma_-$. В частности, при $P(\theta)=1$ и $\Sigma_6 \gg \Sigma_m$ получаем для наименьшего значения σ величину $2\pi\sigma(\theta)/\Sigma_m$, что гораздо больше $4\pi\sigma(\theta)/\Sigma_6$. Чтобы значения σ и $\sigma(\theta)$ стали совместимыми теперь (когда известно, что $P(\theta)=1$) потребуется гораздо большее J_0 . Таким образом, в этом случае оценка J_0 или r_0 значительно улучшается. Дополнительная информация о поляризации не улучшает оценку, если эта поляризация равна нулю (или если $\Sigma_+(\theta) \approx \Sigma_-(\theta)$, см. рис. 1 и 2).

Полученная формула может быть использована по-другому: если известно r_0 или J_0 (следовательно, известны $\Sigma_+(\theta)$ и $\Sigma_-(\theta)$), а также σ и $\sigma(\theta)$ (при этом, конечно, $\sigma/4\pi\sigma(\theta) > 1/\Sigma_6$), то имеем такое ограничение на величину поляризации $P(\theta)$:

$$\frac{1}{2} (1 - \sqrt{1 - P^2(\theta)}) < \left(\frac{\sigma}{4\pi\sigma(\theta)} - \frac{1}{\Sigma_6} \right) \frac{\Sigma_+ \Sigma_-}{|\Sigma_+ - \Sigma_-|}. \quad (2.5)$$

Конечно, эта оценка для $P(\theta)$ полезна только в тех случаях, когда правая часть (2.5) меньше единицы.

С помощью (2.5) мы можем несколько уточнить известный факт обращения поляризации в нуль при $\theta = 0^\circ$ или 180° , а именно оценить поведение $P(\theta)$ вблизи этих углов. При малых углах $\Sigma_{\pm}^{-1/2} \ll \Sigma_{\pm}^{1/2}$ и подстановка формулы (П6) приложения в (2.5) дает

$$P^2(\theta) < \left[\frac{\sigma}{\pi\sigma(\theta)} - \frac{4}{(L_0+1)(L_0+2)} \right] \frac{(L_0+1)^2 (L_0+2)^2}{2} \sin^2 \theta/2 \quad (2.6)$$

$$0 < \sin^2 \theta/2 \ll \frac{1}{(L_0+1)(L_0+3)}.$$

Величина $L_0 = J_0 - \frac{1}{2}$ зависит от принятого r_0 и импульса в системе центра инерции:

$$hL_0 = r_0 p.$$

§ 3. Реакции типа $\frac{1}{2} + \frac{1}{2} \rightarrow \frac{1}{2} + \frac{1}{2}$

Примеры таких реакций: $n + p \rightarrow n + p$, $\Sigma^+ + p \rightarrow \Sigma^0 + p$, $\bar{p} + p \rightarrow \Lambda + \Lambda$ и т.л.

При сохранении четности в задаче фигурируют 8 переменных z . Нам не удалось решить задачу методом нахождения условного минимума. Способ, изложенный выше,

позволяет достичь цели. Аналогично случаю $\frac{1}{2} + 0 + \frac{1}{2} + 0$ параметризуем переменные следующим образом (вместо проекций спинов $-\frac{1}{2}$ и $+\frac{1}{2}$ пишем просто $-$ и $+$):

$$\begin{aligned} \langle -- | z | -- \rangle &= z_{--} = r \sin \alpha \sin \beta_1 \sin \gamma_1 \exp i \eta_{--} \\ \langle -- | z | ++ \rangle &= z_{-+} = r \sin \alpha \sin \beta_1 \cos \gamma_1 \exp i \eta_{-+} \end{aligned} \quad (3.1)$$

$$\begin{aligned} \langle -+ | z | -+ \rangle &= z_{22} = r \sin \alpha \cos \beta_1 \sin \delta_1 \exp i \eta_{22} \\ \langle -+ | z | +- \rangle &= z_{21} = r \sin \alpha \cos \beta_1 \cos \delta_1 \exp i \eta_{21} \end{aligned}$$

$$\begin{aligned} \langle +- | z | -- \rangle &= z_{1-} = r \cos \alpha \sin \beta_2 \sin \gamma_2 \exp i \eta_{1-} \\ \langle +- | z | ++ \rangle &= z_{1+} = r \cos \alpha \sin \beta_2 \cos \gamma_2 \exp i \eta_{1+} \end{aligned} \quad (3.2)$$

$$\langle ++ | z | -+ \rangle = z_{2-} = r \cos \alpha \cos \beta_2 \sin \delta_2 \exp i \eta_{2-}$$

$$\langle ++ | z | +- \rangle = z_{1+} = r \cos \alpha \cos \beta_2 \cos \delta_2 \exp i \eta_{1+}$$

Суммы $4\pi \left| \frac{m_a + m_b}{m_a + m_b} \right|^2$ обозначим через Σ_{--} , Σ_{-+} , Σ_{++} и Σ_{00} соответственно значениям $(m_a + m_b, m_a + m_b)$. В силу (1.5) в задаче встречаются только эти четыре суммы.

Формулы (A), (B) и (C) принимают вид:

$$\sigma(\theta) = \frac{1}{2} \sum_i |z_i|^2 = r^2/2 \quad (3.A)$$

$$\begin{aligned} \sigma(\theta) P(\theta) &= -\text{Im} (z_{--} z_{1-}^* + z_{-+} z_{1+}^* + z_{22} z_{2-}^* + z_{21} z_{1+}^*) = \\ &= -\frac{r^2}{2} \sin 2\alpha [\sin \beta_1 \sin \gamma_1 \sin \beta_2 \sin \gamma_2 \sin (\eta_{--} - \eta_{1-}) + \\ &\quad + \sin \beta_1 \cos \gamma_1 \sin \beta_2 \cos \gamma_2 \sin (\eta_{-+} - \eta_{1+}) + \\ &\quad + \cos \beta_1 \sin \delta_1 \cos \beta_2 \sin \delta_2 \sin (\eta_{22} - \eta_{2-}) + \\ &\quad + \cos \beta_1 \cos \delta_1 \cos \beta_2 \cos \delta_2 \sin (\eta_{21} - \eta_{1+})] = -\sigma(\theta) \sin 2\alpha [P]. \end{aligned} \quad (3.B)$$

Заметим, что для симметрии этой формулы пришлось обозначить $q_{+1,-1}^J = -\sqrt{\frac{2J+1}{4\pi}} d_{+1,-1}^J(\theta)$ в отличие от (1.3)

$$\sigma_m = 4\pi \frac{1}{2} \sum \frac{|z_1|^2}{\Sigma_1} = 4\pi \frac{r^2}{2} \left\{ \frac{\cos^2 \alpha}{\Sigma_0} + \sin^2 \alpha \left[\sin^2 \beta_1 \left(\frac{\sin^2 \gamma_1}{\Sigma_{-}} + \frac{\cos^2 \gamma_1}{\Sigma_{+}} \right) + \frac{\cos^2 \beta_1}{\Sigma_0} \right] \right\}. \quad (3.С)$$

Так же как и в § 2 для σ_m можно написать

$$\sigma_m \geq 4\pi \alpha(\theta) \left[\frac{1}{2} \left(\frac{1}{\Sigma_0} + s \right) - \frac{1}{2} \sqrt{1 - \sin^2 2\alpha} \left| \frac{1}{\Sigma_0} - s \right| \right] \quad (3.3)$$

$$s = \frac{\sin^2 \beta \sin^2 \gamma}{\Sigma_{-}} + \frac{\sin^2 \beta \cos^2 \gamma}{\Sigma_{+}} + \frac{\cos^2 \beta}{\Sigma_0}.$$

Покажем, что $|[P]|$ из формулы (3.В) меньше или равно 1. Действительно, $[P]$ сводится к скалярному произведению двух единичных векторов $\vec{a}^{(1)}$ и $\vec{a}^{(2)}$ в восьмимерном пространстве, каждый из которых имеет компоненты:

$$\begin{aligned} \alpha_1 &= \sin \beta \sin \gamma \sin \epsilon & \alpha_5 &= \cos \beta \sin \delta \sin \eta \\ \alpha_2 &= \sin \beta \sin \gamma \cos \epsilon & \alpha_6 &= \cos \beta \sin \delta \cos \eta \\ \alpha_3 &= \sin \beta \cos \gamma \sin \zeta & \alpha_7 &= \cos \beta \cos \delta \sin \theta \\ \alpha_4 &= \sin \beta \cos \gamma \cos \zeta & \alpha_8 &= \cos \beta \cos \delta \cos \theta. \end{aligned} \quad (3.4)$$

При этом надо принять, что $\eta_{-} - \eta_{+} = \pi/2 - (\epsilon_1 - \epsilon_2)$ и т.д. Поэтому из (3.В) аналогично предыдущему случаю следует, что $|P(\theta)| \leq |\sin 2\alpha| \leq 1$, а также, что $|P(\theta)| \leq |[P]| \leq 1$. Далее, правая часть (3.3) есть линейная функция s и имеет наименьшее значение, когда s минимальное (как в случае $1/\Sigma_0 > s$, так и в обратном случае). Представим s в виде $x^2/\Sigma_{-} + y^2/\Sigma_{+} + z^2/\Sigma_0$, где x, y, z — компоненты единичного вектора: $x^2 + y^2 + z^2 = 1$, а Σ_0 и Σ_M соответственно большее и меньшее из $\Sigma_{-}, \Sigma_{+}, \Sigma_0$. После этого видим, что наименьшее значение s равно $1/\Sigma_0$:

$$s = 1/\Sigma_0 + y^2(1/\Sigma_0 - 1/\Sigma_6) + z^2(1/\Sigma_M - 1/\Sigma_6).$$

Итак, наименьшее значение σ_m достигается, когда $\sin^2 2\alpha$ и s имеют наименьшие значения. Если все восемь переменных z независимы, то $\sin^2 2\alpha$ и s могут принимать свои наименьшие значения одновременно. Действительно, $s = 1/\Sigma_0$ когда фиксированы значения углов β_1 и γ_1 вектора $\vec{a}^{(1)}$, а именно когда либо $\beta_1 = 0, \gamma_1 = 0$, либо $\beta_1 = 0, \gamma_1 = \pi/2$ либо $\beta_1 = \pi/2, \gamma_1$ — любое. А равенство $\sin^2 2\alpha = P^2(\theta)$ имеет место, когда $[P] = (\vec{a}^{(1)} \vec{a}^{(2)}) = 1$, т.е. когда $\vec{a}^{(2)} \parallel \vec{a}^{(1)}$. Поскольку углы вектора $\vec{a}^{(2)}$ в s не входят, то всегда можно сделать $\vec{a}^{(2)}$ параллельным выбранному вектору $\vec{a}^{(1)}$.

В результате получаем формулу такого же вида, что и в случае $\frac{1}{2}+0-\frac{1}{2}+0$:

$$\sigma \geq 2\pi\sigma(\theta) \left[\frac{1}{\Sigma_{0-}} + \frac{1}{\Sigma_{0+}} - \sqrt{1-P^2(\theta)} \left| \frac{1}{\Sigma_{0-}} - \frac{1}{\Sigma_{0+}} \right| \right], \quad (3.5)$$

где теперь $\Sigma_{0\pm}$ обозначает большую из сумм Σ_{-} , Σ_{+} , Σ_{00} .

Представляется, что изложенным способом можно решить задачу и в случае произвольных спинов. Однако для упругих реакций возникает следующая трудность. Тогда кроме сохранения четности имеет место еще инвариантность относительно обращения времени ^{/4/}

$$\langle m_a m_d | R^J | m_a m_b \rangle = \langle m_a m_b | R^J | m_a m_d \rangle \quad (3.6)$$

или $z_{1-} = z_{-1} = z_{+2}$ и $z_{1+} = z_{+1}$ в случае $\frac{1}{2}+\frac{1}{2}-\frac{1}{2}+\frac{1}{2}$ (пример $p+r \rightarrow p+r$).

Другими словами, вектор $\vec{a}^{(2)}$ до некоторой степени фиксирован - $\gamma_2 = \delta_2$ и $\beta_2 = 45^\circ$ (см. (3.2)) и не может быть параллелен вектору $\vec{a}^{(1)}$, у которого $\beta_1 = 0$ или $\pi/2$.

Задача нахождения минимума σ_m значительно усложняется.

Еще более она усложняется в случае реакции $p+r \rightarrow p+r$, когда к (1.2) и (3.6) добавляются еще соотношения

$$\langle m_a m_d | R^J | m_a m_b \rangle = \langle -m_a, -m_b | R^J | -m_b, -m_a \rangle, \quad (3.7)$$

вытекающие из тождественности частиц. Это ведет к равенству всех z в (3.2) или к $\beta_2 = \gamma_2 = \delta_2 = 45^\circ$. Однако формулой (3.5) можно пользоваться, примиряясь с некоторым ухудшением оценки, поскольку уточнение этой формулы сводится к увеличению наименьшего значения σ_m . Например, если $P(\theta)=1$, то $\sin^2 2\alpha=1$ и $||P||=1$. Последнее означает, что $\vec{a}^{(1)} \parallel \vec{a}^{(2)}$ и должно быть $\beta_1 = \gamma_1 = 45^\circ$. В результате $z = \frac{1}{4}(1/\Sigma_{-} + 1/\Sigma_{+}) + \frac{1}{4}\Sigma_{00}$, что конечно больше, чем $1/\Sigma_{\pm} = \frac{1}{4}(1/\Sigma_{\pm} + 1/\Sigma_{\pm}) + 1/2\Sigma_{\pm}$. Вместо оценки $\sigma \geq 2\pi\sigma(\theta)(1/\Sigma_{0-} + 1/\Sigma_{0+})$ даваемой формулой (3.5) для этого случая, получаем

$$\sigma \geq 2\pi\sigma(\theta) \left[1/\Sigma_{-} + 1/2\Sigma_{00} + (1/\Sigma_{-} + 1/2\Sigma_{00})/4 \right].$$

П Р И Л О Ж Е Н И Е

Функции $\Sigma_{mn}(\theta)$

В обсуждаемом способе оценки Γ_0 фундаментальную роль играют суммы

$$\Sigma_{mn}^J(\theta) = \sum_{j=0}^J (2j+1) \left[d_{mn}^j(\theta) \right]^2. \quad (П.1)$$

1. Свойства симметрии. Из свойств симметрии функций $d_{mn}^j(\theta)$, приведенных в формулах (A.1) и (A.2) в ^{/4/}, следуют соответствующие равенства для $\Sigma_{mn}^J(\theta)$ ^{/2/}:

$$\Sigma_{mn}^J(\theta) = \Sigma_{-m,-n}^J(\theta) = \Sigma_{n,m}^J(\theta) = \Sigma_{-n,-m}^J(\theta) \quad (П.2)$$

$$\sum_{mn}(\theta) = \sum_{-m,n}(\pi - \theta), \quad \sum_{mn}(\pi/2) = \sum_{-m,n}(\pi/2). \quad (\text{П.3})$$

2. Выражение через полиномы Якоби. Для вывода надо воспользоваться связью между $d_{mn}^J(\theta)$ и полиномами Якоби $P_{j-m}^{m-n, m+n}(\cos \theta)$ (см. /9/ формула (3.8)) и формулой Кристоффеля-Дарбу (см. /10/ § 3.2 и формулу (4.5.2)). В последней формуле надо сделать предельный переход $x \rightarrow y$; далее можно воспользоваться формулами (4.5.7) /10/, чтобы в конечной формуле фигурировали только многочлены Якоби, но не их производные. Здесь мы не будем приводить полученных громоздких общих формул, а приведем только формулу для $\sum_{\frac{1}{2}, \frac{1}{2}}(\theta)$:

$$\begin{aligned} \sum_{\frac{1}{2}, \frac{1}{2}}(\theta) &= \frac{4 \sin^2 \theta/2 (L+1)^2 (L+2)^2}{\sin^2 \theta (2L+3)^2} \{ [P_L^{(1,0)}]^2 + [P_{L+1}^{(1,0)}]^2 - \\ &- [2 \cos \theta + \frac{\cos^2 \theta/2}{(L+1)(L+2)}] P_L^{(1,0)} P_{L+1}^{(1,0)} \} = \sum_{\frac{1}{2}, \frac{1}{2}}(\pi - \theta). \end{aligned} \quad (\text{П.4})$$

Здесь $L = J_0 - \frac{1}{2}$. Полиномы Якоби $P_L^{(1,0)}$ могут быть выражены через полиномы Лагранжа:

$$\begin{aligned} d_{\frac{1}{2}, \frac{1}{2}}^J(\theta) &= \sin \theta/2 P_L^{(1,0)}(\cos \theta) = \\ &= -\sin \theta/2 [P_{L+1}(\cos \theta) - P_L(\cos \theta)] / (1 - \cos \theta), \quad L = J - \frac{1}{2}. \end{aligned} \quad (\text{П.5})$$

3. Поведение $\sum_{\frac{1}{2}, \frac{1}{2}}$ и $\sum_{\frac{1}{2}, \frac{1}{2}}$ под малыми углами. С помощью формул из 4.21 /10/ или формулы (4.5.8), там же, можем получить

$$\sum_{\frac{1}{2}, \frac{1}{2}}(\theta) = \sin^2 \theta/2 \frac{(L+1)^2 (L+2)^2}{2}, \quad 0 \leq \sin^2 \theta/2 \ll \frac{1}{(L+1)(L+3)}; \quad (\text{П.6})$$

$$\sum_{\frac{1}{2}, \frac{1}{2}}(\theta) = (L+1)(L+2) [1 - \sin^2 \theta/2 (L^2 + 3L + 1)].$$

4. Вычисление $\sum_{mn}(\theta)$. Кроме непосредственного вычисления по формуле (П.1) или с помощью формулы Кристоффеля-Дарбу, для приближенного вычисления можно использовать разные асимптотические представления полиномов Якоби, см. /10/, гл. 8. Например, для вычисления (П.4) можно воспользоваться формулой (8.21.17) из /10/:

$$\sin \theta/2 P_L^{(1,0)} = \sqrt{\frac{\theta}{\sin \theta}} J_1[(L+1)\theta]. \quad (\text{П.7})$$

J_1 - функция Бесселя, область применимости $0 \leq \theta < \pi$ (уточнения см. /10/).

На рисунках 1 и 2 изображены функции $\sum_{\frac{1}{2}, \frac{1}{2}}(30\%, \theta)$ и $\sum_{\frac{1}{2}, \frac{1}{2}}(30\%, \theta)$. На рис. 2 графики построены по значениям, вычисленным счетной машиной по формуле

(П.1). Значками $\#$ нанесены значения $\Sigma_{\frac{1}{2},\frac{1}{2}}$, вычисленные с помощью формул (П.4) и (П.7). На рис. 1 значения $\Sigma_{\frac{1}{2},\frac{1}{2}}$, полученные по формуле (П.1), изображены значками \times ; значками \circ и \square изображены значения $\Sigma_{\frac{1}{2},\frac{1}{2}}$, полученные соответственно по формуле (П.1) и с помощью формул, аналогичных формулам (П.4) и (П.7).

Л и т е р а т у р а

1. W.Randt and P.Schwed. Phys. Rev., 112, 271 (1958).
2. В.Г.Гришин и В.И.Огиевецкий. ЖЭТФ, 38, 1008 (1960); Nucl. Phys. 18, 516 (1960).
3. М.И.Широков. ЖЭТФ, 42, 173, 1962. Препринт ОИЯИ Е-859, Дубна. (1962)
4. M.Jacob and G.C.Wick. Ann. of Phys., 7, 404 (1959).
5. Л.Г.Заставенко. ЖЭТФ, 35, 785 (1958).
6. Чжоу Гуан-чжао. ЖЭТФ, 36, 909 (1959).
7. М.И.Широков. ЖЭТФ, 39, 633 (1960).
8. М.И.Широков. ЖЭТФ, 36, 1524 (1959).
9. А. Эдмондс. Угловые моменты в квантовой механике. Сб. "Деформация атомных ядер", Москва, ИЛ, 1958.
10. Г.Сеге. Ортогональные многочлены. ГИФМЛ, Москва, 1962.

Рукопись поступила в издательский отдел
8 мая 1964 года.

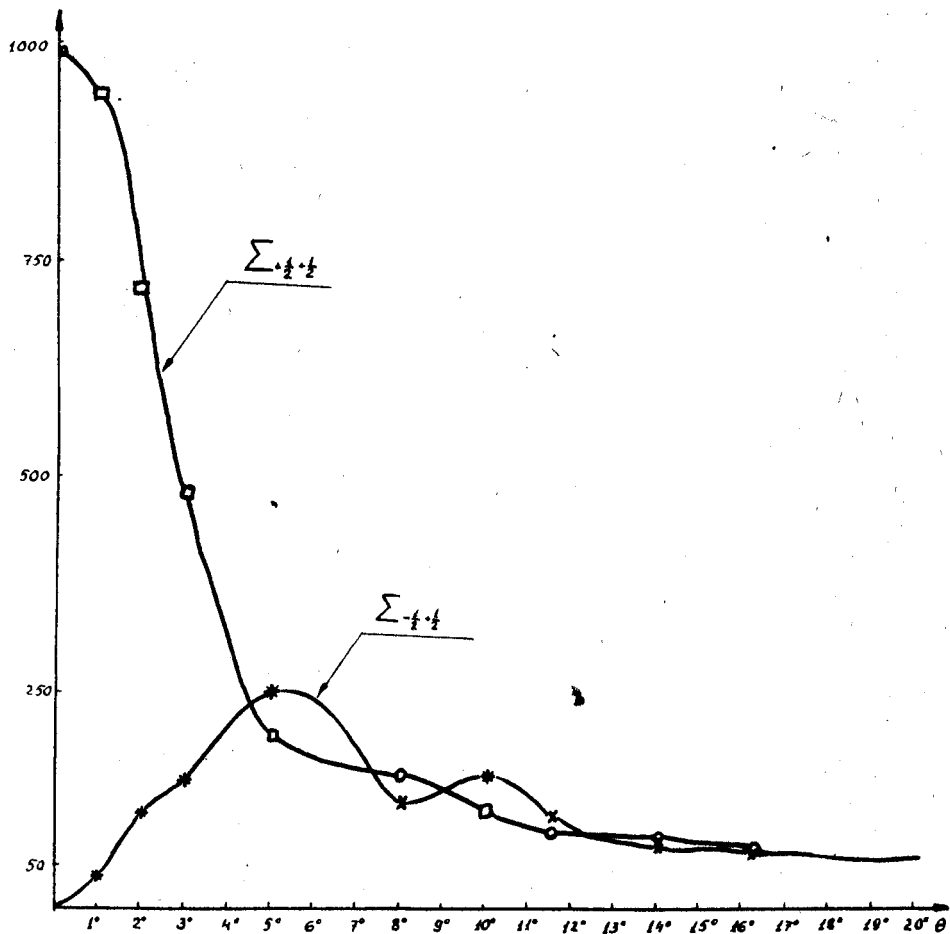


Рис. 1.

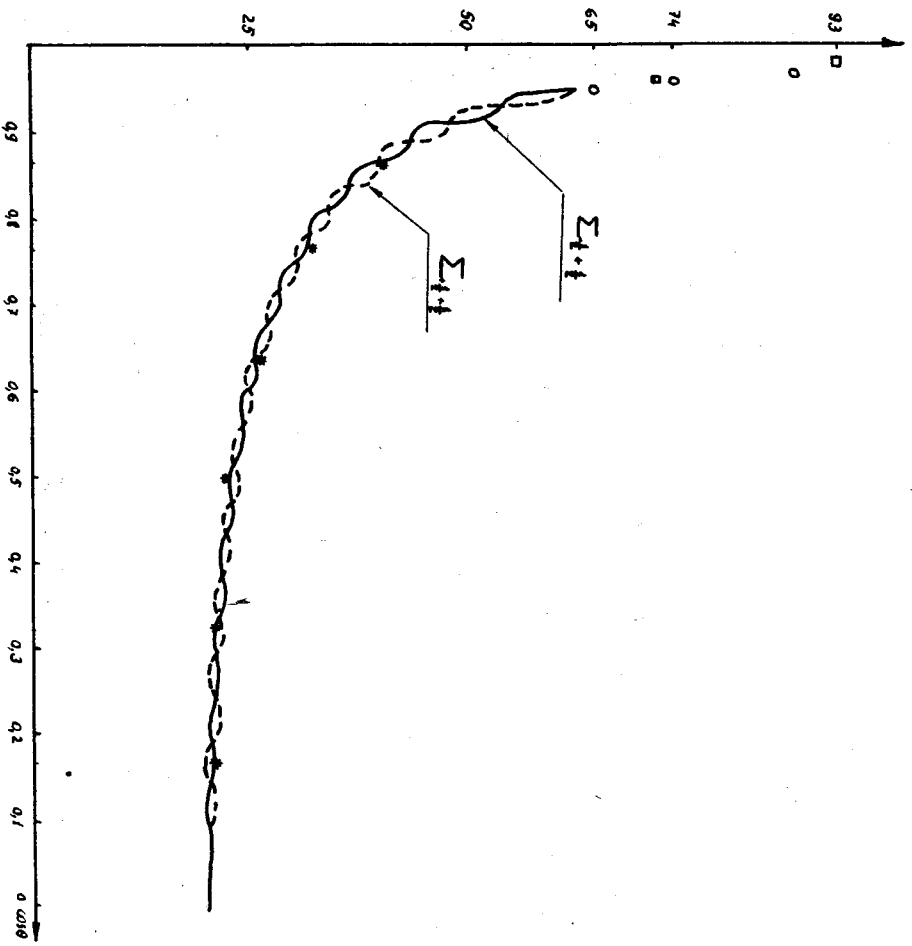


FIG. 2.